

# Lei de Faraday

1. Eletrostática : Lei de Coulomb :  $F = k \frac{q_1 q_2}{r^2} \hat{r}$

$\Leftrightarrow$  Lei de Gauss :  $\oint \vec{E} \cdot d\vec{S} = \frac{q}{\epsilon_0}$

2. Carja em movimento : corrente elétrica estacionária gera campo magnético

Força de Lorentz

$$\vec{F} = q\vec{E} + q\vec{v} \wedge \vec{B}$$

Lei de Biot-Savart

$$d\vec{B} = \frac{\mu_0}{4\pi} i d\vec{l} \wedge \frac{\vec{r}}{r^3}$$

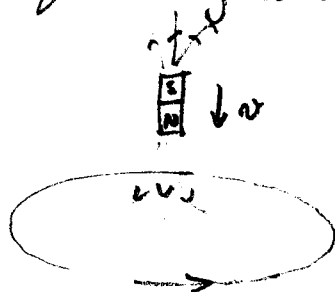
$\Leftrightarrow$

Lei de Ampère

$$\oint \vec{B} \cdot d\vec{l} = \mu_0 i$$

Portm,  
(\* Campo magnético estacionário  
NAO gera corrente elétrica.

3. Campo magnético pode gerar corrente elétrica (\*)



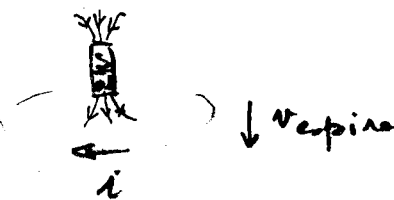
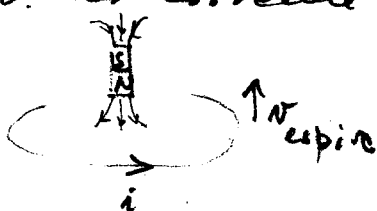
$i$  = corrente induzida



Variação de campo sim.

$i$  = corrente induzida

1. Quanto maior a velocidade maior a corrente.
2.  $v=0$  não há corrente.
3. Se o ímã está parado e a espira em movimento t.b. há corrente induzida.



4. corrente induzida depende da área da espira:

(2)

Campo uniforme aproximadamente, porém aumentado com o tempo.



$$i_2 = \frac{1}{4} i_1 \quad (\text{mesmo } \frac{dB}{dt})$$

Faraday concluiu que o que importa é a variação do fluxo de  $\vec{B}$  através da área delimitada pela espira.

$$\Phi_B = \int \vec{B} \cdot d\vec{S}$$

superfície aberta delimitada pela espira.

A força eletromotriz  $\mathcal{E}$  que causa uma corrente induzida

$$\mathcal{E} = - \frac{d\Phi_B}{dt}$$

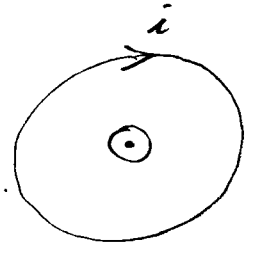
Este sinal do (-) é devido à Lei de Lenz.

$\mathcal{E} = (-)$  a variação do fluxo de  $\vec{B}$  através da área delimitada pela espira.

Este fenômeno é conhecido como fenômeno de indução eletromagnética e tem aplicações tecnológicas muito grandes.

Lei de Lenz:

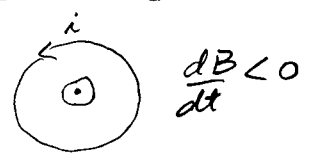
$$\frac{dB}{dt} > 0$$



Campo  $\vec{B}$  aumenta  $\Rightarrow$  fluxo de  $\vec{B}$  através de superfície aumenta.

A corrente induzida é "do contra"; ele não gosta de variações (deje ele qual for)  $\Rightarrow$  ele terá o sentido que provocar um campo de modo a diminuir esse aumento de fluxo. Ou seja, neste caso ele aparece no sentido horário.

Se o campo  $B$  estiver diminuindo  $\Rightarrow$  a corrente será no sentido anti-horário (+ uma vez "do contra")



$$\frac{dB}{dt} < 0$$

$$\mathcal{E} = - \frac{d\Phi}{dt} = - \frac{d}{dt} \int \vec{B} \cdot d\vec{S}$$

/  
superfície aberta  
delimitada pela espira

Podemos imaginar que esse força eletromotriz decorre de um campo elétrico  $\vec{E}$  (induzido) que cause o aparecimento de corrente induzida

$$\mathcal{E} = \int \vec{E} \cdot d\vec{l}$$

ao longo do circuito fechado.

$$\mathcal{E} = - \oint \vec{E} \cdot d\vec{l} = - \frac{d}{dt} \int \vec{B} \cdot d\vec{S}$$

ao longo do circuito

através da área delimitada pelo circuito

$$\oint \vec{E} \cdot d\vec{l} = - \frac{d}{dt} \int \vec{B} \cdot d\vec{S}$$

Lei de Faraday

Convenção para o vetor área  $d\vec{S}$



Regra da mão direita

sentido horário  $d\vec{S}$   $\otimes$

sentido anti-horário  $d\vec{S}$   $\odot$

Verificação:

(a) Se  $\vec{B} \otimes \Rightarrow \vec{B} \cdot d\vec{S} = -B dS \Rightarrow \frac{d\phi}{dt} = - \frac{dB}{dt} dS$

(a.1) se  $\frac{dB}{dt} > 0$  (campo aumentando  $\otimes$ )  $\Rightarrow \mathcal{E} = - \frac{d\phi}{dt} > 0$

$\Rightarrow$  corrente induzida está no sentido horário



(a.2) se  $\frac{dB}{dt} < 0$  (campo diminuindo  $\odot$ )  $\Rightarrow \mathcal{E} = - \frac{d\phi}{dt} < 0$

$\Rightarrow$  corrente induzida está no sentido anti-horário



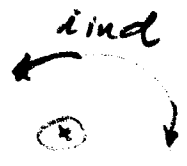
(\*) Note que o campo aponta na mesma direção nos casos (a.1) e (a.2). A corrente induzida não se opõe ao campo; opõe-se à variação do fluxo.

(b) se  $\vec{B} \otimes \Rightarrow \vec{B} \cdot d\vec{S} = B dS$

$$\frac{d\phi}{dt} = \frac{dB}{dt} dS$$

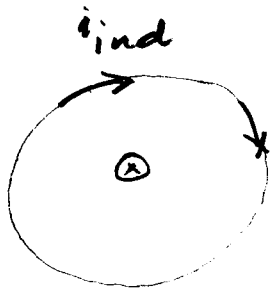
(b.1) se  $\frac{dB}{dt} > 0$  (campo aumentando  $\otimes$ )  $\Rightarrow \mathcal{E} = -\frac{d\phi}{dt} < 0$

corrente no sentido anti-horario



(b.2) se  $\frac{dB}{dt} < 0$  (campo diminuindo  $\otimes$ )  $\Rightarrow \mathcal{E} = -\frac{d\phi}{dt} > 0$

corrente no sentido horario

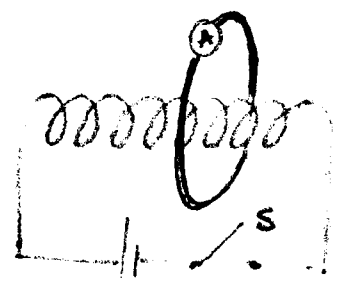


O.K. ✓

Na prática não precisamos nos preocupar muito pois a "Lei do contra" de Lenz nos indica o sentido da corrente induzida.

# Do ponto de vista prático

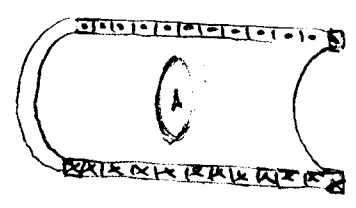
(a)



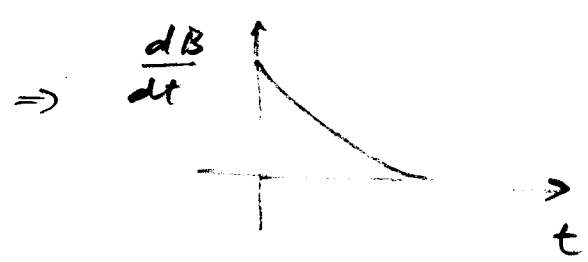
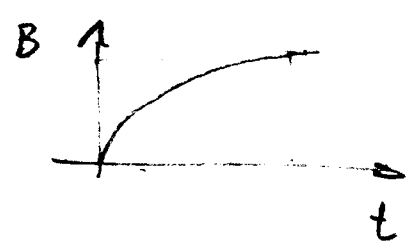
$\epsilon$   
fontes de tensão variáveis

Podemos medir a corrente induzida na espira, variando a corrente (portanto o campo magnético gerado) no solenóide.

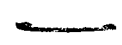
(b)

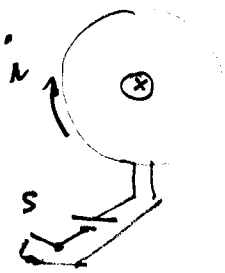


Medimos a corrente induzida pela espira interna com diferentes áreas. Campo magnético gerado pelo solenóide externo crescendo ou decrescendo com o tempo.



$$\frac{d\Phi_B}{dt} = \frac{dB}{dt} A$$





A chave S é fechada e a corrente  $i$  flui na espira gerando um campo magnético  $\vec{B}$  no sentido  $\otimes$ . Quando

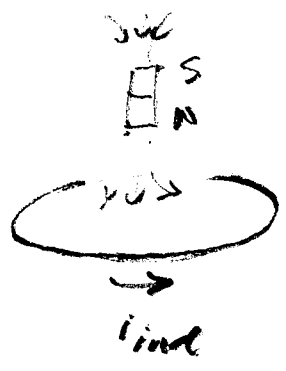
a chave S é desligada, o fluxo de campo magnético  $B$  (gerado pela própria corrente  $i$ )

diminui  $\Rightarrow \Phi = \int \vec{B} \cdot d\vec{S} > 0$  diminui, ou seja

$$\frac{d\Phi}{dt} < 0 \Rightarrow \mathcal{E}_{ind} > 0 \Rightarrow \text{corrente induzida } (i_{ind})$$

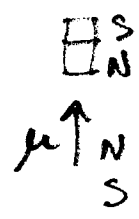
terá o mesmo sentido de  $i$  (horário), reduzindo a variação de  $i$ .

Se  $\frac{dB}{dt}$  for muito grande  $\mathcal{E}_{ind}$  tb será muito grande.



Imã caindo em direção à espira

$i_{ind}$  dá origem a um dipolo magnético  $\vec{\mu} \uparrow$



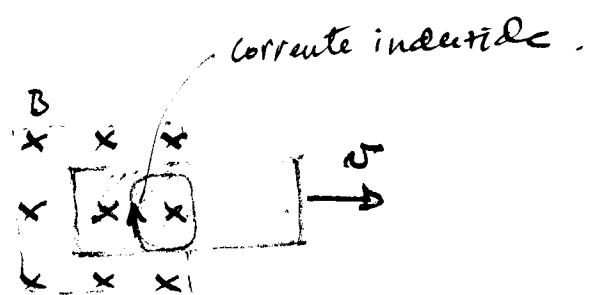
O campo magnético gerado pela corrente induzida

reduz a velocidade do queda.

Parte da energia cinética do imã é dissipada (na forma de calor) por efeito Joule na espira.

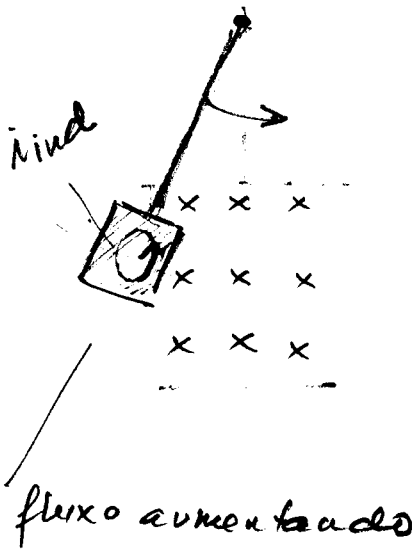
### Correntes de Foucault:

Essas correntes dissipam calor por efeito Joule.



# Pêndulo metálico suspenso

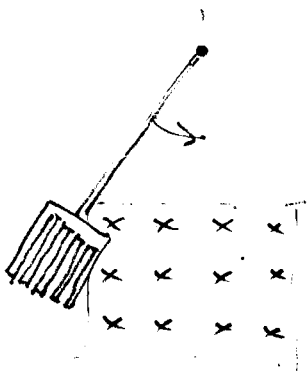
9



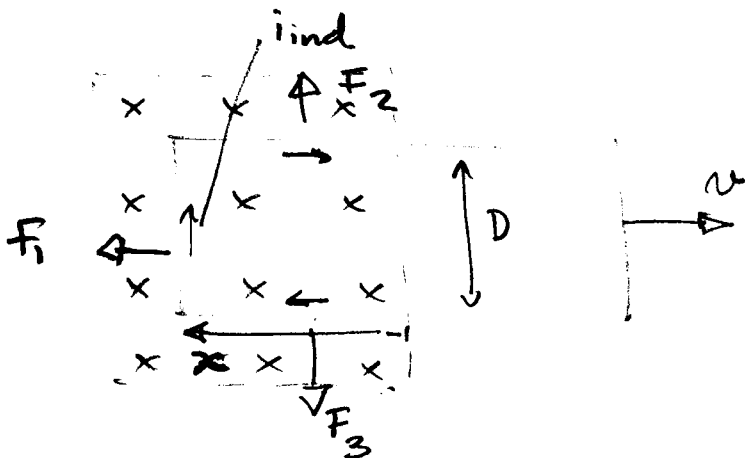
Parte de energia cinética do pêndulo é dissipada em calor por efeito Joule devido ao aparecimento das correntes de Foucault.

Elas equivalem a uma força de atrito viscoso, freando o pêndulo.

O efeito é reduzido se fendas forem abertas no pêndulo



O fluxo nas partes metálicas é reduzido  $\rightarrow$  corrente induzida diminui.



$$\Phi = B \cdot A = B D x$$

$$\frac{d\Phi}{dt} = B D \frac{dx}{dt} = B D (-v)$$

$$\mathcal{E} = -\frac{d\Phi}{dt} = B D v$$

$$i_{ind} = \frac{\mathcal{E}}{R}$$

$$\vec{F}_2 = -\vec{F}_3 \quad F_2 = F_3 = i_{ind} \times B$$

$$F_1 = i_{in} D B$$

Força resultante  $\vec{F}_1 = i_{ind} D B \hat{x}$

$$F_i = \frac{\epsilon}{R} D B = \frac{B D v}{R} B D = \frac{B^2 D^2 v}{R}$$

Trabalho feito pelo agente externo

Força feita pelo agente externo  $\rightarrow F_i$

$$dW = \vec{F}_{ext} \cdot d\vec{x} \Rightarrow \text{Potência dissipada} = \frac{dW}{dt}$$

$$P = F_i v = \frac{B^2 D^2 v^2}{R}$$

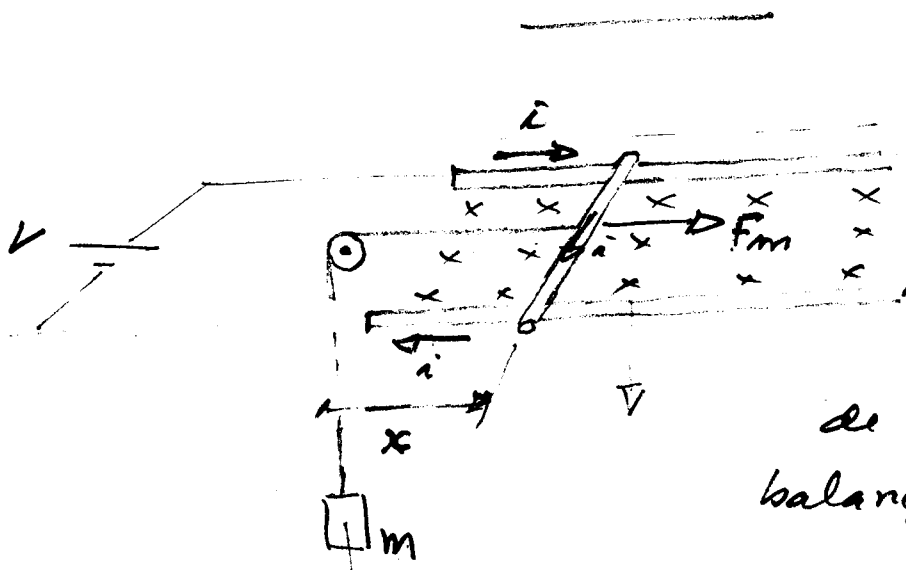
Potência dissipada por efeito Joule na

espira  $P = R i^2 = R \cdot \frac{\epsilon^2}{R^2} = \frac{\epsilon^2}{R} = \frac{B^2 D^2 v^2}{R}$  ✓

Trabalho feito pelo agente externo =

Energia dissipada por efeito Joule. Isto é necessário para que

$v$  (portanto a velocidade) seja mantida cte.



A haste  
anda com  
velocidade  
cte  $v$  na direção  
de  $F_m$ ;  $F_m$  é contra-  
balanceado pelo peso  $mg$ .

Força eletromotriz induzida  $\epsilon = -\frac{d\Phi}{dt} = -\frac{d}{dt} B h x = -B h v$

$i_{ind}$  tem sentido oposto a  $i = \frac{V}{R}$  = corrente gerada pela  
bateria.

$$I = i - i_{ind} = \frac{V}{R} - \frac{\mathcal{E}}{R} = \frac{V - Bhv}{R}$$

$$F_m = I h B = mg \Rightarrow \left( \frac{V - Bhv}{R} \right) h B = mg$$

$$\Rightarrow V - Bhv = \frac{Rmg}{hB} \Rightarrow Bhv = V - \frac{Rmg}{hB} \Rightarrow$$

$$v = \frac{V}{Bh} - \frac{Rmg}{(Bh)^2} = \frac{R}{Bh} \left( \frac{V}{R} - \frac{mg}{Bh} \right) //$$

Então,

$$I = \frac{V}{R} - \frac{Bh}{R} \frac{R}{Bh} \left( \frac{V}{R} - \frac{mg}{Bh} \right) = \frac{mg}{Bh} //$$

A potência fornecida pela bateria é  $VI$ : parte é usada para suspender a massa  $m$  e parte é dissipada em calor.

$$\Delta E_p / \Delta t = mg \frac{\Delta h}{\Delta t} = mgv$$

Potência dissipada por efeito Joule  $P = RI^2$

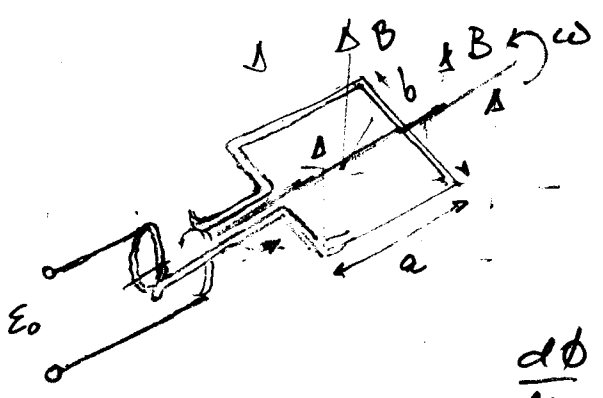
$$mgv + RI^2 = mg \frac{R}{Bh} \left( \frac{V}{R} - \frac{mg}{Bh} \right) + R \left( \frac{mg}{Bh} \right)^2$$

aumento de energia potencial gravitacional / tempo.  $= \frac{mgR}{Bh} \frac{V}{R} = VI \checkmark$

$$VI = mgv + RI^2 \checkmark \text{ como esperado}$$

Potência fornecida pela bateria  $\longleftarrow$  Potência dissipada por efeito Joule

# Geradora de corrente alternada



Bobina com N espiras girando com velocidade angular  $\omega$

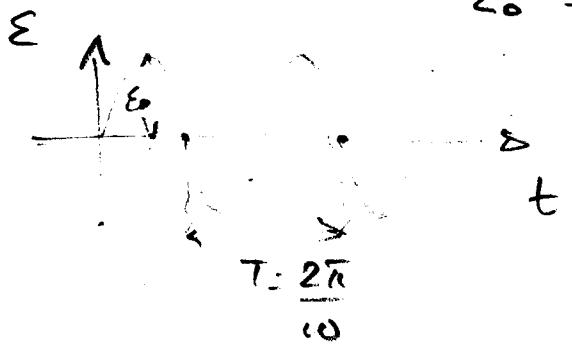
$$\Phi = B \cdot NA \cos \theta$$

$$\left. \begin{aligned} \theta &= \omega t \\ A &= ab \end{aligned} \right\}$$

$$\frac{d\Phi}{dt} = -BNA \sin \omega t \omega$$

$$\mathcal{E} = -\frac{d\Phi}{dt} = \underbrace{3NA\omega}_{\mathcal{E}_0} \sin \omega t$$

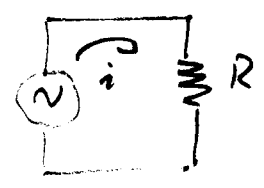
f.e.m. alternada com amplitude  $\mathcal{E}_0$



período  $\frac{2\pi}{\omega}$

frequência  $\nu = \frac{\omega}{2\pi}$

Conectado a um resistor de resistência  $R$



$$i = \frac{\mathcal{E}}{R} = \frac{\mathcal{E}_0 \sin \omega t}{R}; \quad \mathcal{E}_0 = BNA\omega$$

O momento de dipolo magnético da bobina girante tem magnitude  $\mu = NiA$

O torque ao qual ele está sujeito girando na presença do campo  $B$  é  $|\vec{\tau}| = |\vec{\mu} \wedge \vec{B}| = NiAB \sin \theta$

O trabalho realizado para girá-lo  $dW = \tau d\theta \Rightarrow$

Potência gasta para mantê-lo girando com velocidade angular  $\omega$  é:

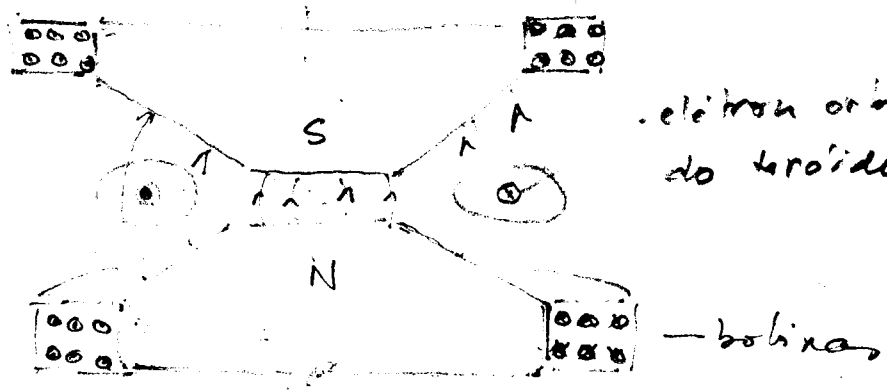
$$P = \frac{dW}{dt} = \tau \frac{d\theta}{dt} = \tau \omega = NiAB \sin \omega t \omega = \mathcal{E}i$$

que é a potência a ser dissipada no resistor.

Em uma hidro-elétrica o trabalho para girar a turbina é feito mecanicamente pela queda d'água que mantém a turbina girando.

Os coletores são fios que têm resistência elétrica. Eles dissipam energia no processo de transmissão de p.e.m. e desde a hidroelétrica até nossa residência e locais de trabalho.

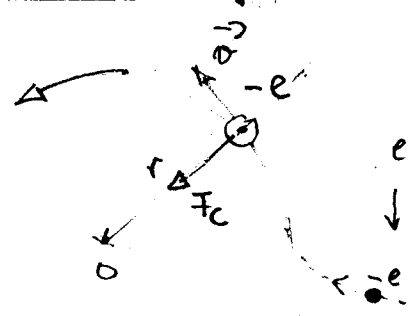
### Bêta tron : acelerador de elétrons



elêtron orbita dentro do toróide em órbita circular

bobinas

#### Uma de cima



e é injetado na região onde existe campo magnético. O campo varia no tempo. Não é uniforme espacialmente porém, apresenta simetria axial.

(O campo é + interno na região central)

Sobre a órbita o campo é uniforme (simetria axial).

$$\vec{F}_e = e v B_0 = \frac{m v^2}{r} \Rightarrow r = \frac{m v}{e B_0} \text{ ou } p = m v = e B_0 r$$

valor de B na órbita

carregada eletrônica (-) de magnitude e

O campo B não é homogêneo espacialmente:

depende de r.

Valor médio de B sobre uma área S delimitada da pelo raio de órbita r, pode ser definido por

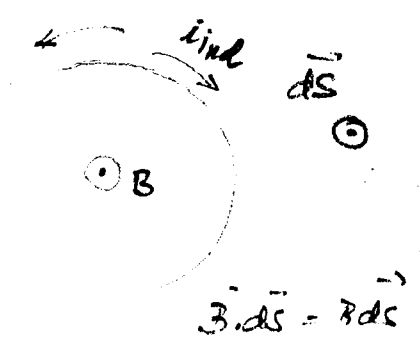
$$B_m = \frac{1}{\pi r^2} \int_S \vec{B} \cdot d\vec{S} \quad - \text{fluxo de } B(r) \text{ através da área } S.$$

$$\Rightarrow \Phi_S = B_m \pi r^2$$

Seu valor assim, se B<sub>m</sub> varia no tempo

$$\frac{d\Phi_S}{dt} = \pi r^2 \frac{dB_m}{dt}$$

$$\mathcal{E} = - \frac{d\Phi_S}{dt} = - \pi r^2 \frac{dB_m}{dt}$$



força eletromotriz ao longo da órbita de raio r.

Se dB/dt for positivo a força eletromotriz (e portanto o campo elétrico) induzido estará no sentido horário

A força tangencial que atua no elétron

$\vec{F}_e = -e \vec{E}$  está na direção da velocidade eletrônica v aumenta em módulo  $\Rightarrow v_e$  eletrônica aumenta.

$$\mathcal{E} = \int \vec{E} \cdot d\vec{l} \Rightarrow \mathcal{E} = \frac{\mathcal{E}}{2\pi r}$$

/ induzido do campo elétrico induzido

$$F_t = -eE = -e \frac{\mathcal{E}}{2\pi r} = -e \left( \frac{-\pi r^2}{2\pi r} \right) \frac{dB_m}{dt} = \frac{er}{2} \frac{dB_m}{dt}$$

força tangencial

$$F = \frac{dp}{dt} \Rightarrow \frac{dp}{dt} = \frac{er}{2} \frac{dB_m}{dt} \quad (1)$$

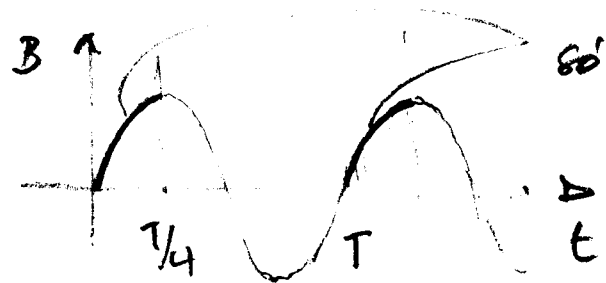
Por outro lado  $p = mv = eB_0 r \Rightarrow \frac{dp}{dt} = e \frac{dB_0}{dt} r \quad (2)$

$$B(\rho, t) = B(\rho) \sin \omega t \quad \frac{\partial B}{\partial t} = B(\rho) \cos \omega t \omega$$

Comparando as expressões (1) e (2) vemos que é necessário que  $B_0 = \frac{B_m}{2}$ . O campo sobre a órbita deve ser metade do seu valor médio sobre a área delimitada pela órbita. As peças do betatron devem ser cuidadosamente projetadas para garantir isto.

Para que os elétrons sejam acelerados  $\frac{dp}{dt} > 0$

$$\Leftrightarrow \frac{dB_0}{dt} > 0$$

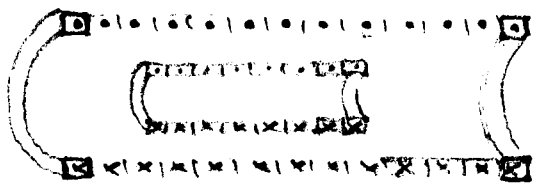


só vencer trechos e que  $\frac{dB}{dt} > 0$ .

Só  $\frac{1}{4}$  de cada ciclo é aproveitado para  
 aceleração dos elétrons. Somente o primeiro  
 quarto de ciclo é utilizado para a operação.

Os elétrons são injetados em  $t=0$  e extraídos  
 em  $t = \frac{T}{4}$ .

Indutâncias mútua e auto-indutância.



- Solenóide interno de raio  $R_1$ , com  $N_1$  espiras de comprimento  $l$
- Solenóide externo de raio  $R_2$ , com  $N_2$  espiras de comprimento  $l$

Passando uma corrente  $i_1$  estacionária no solenóide 1,  
 é gerado um campo  $B_1 = \mu_0 \frac{N_1}{l} i_1$  na região interna  
 do solenóide 1, i.e., para  $r < R_1$  e  $B_1 = 0$  para  $r > R_1$ .

O fluxo produzido pelo solenóide 1 sobre as  $N_2$   
 espiras do solenóide 2 é dado por

$$\Phi_{2(1)} = N_2 \int \vec{B}_1 \cdot d\vec{s} = N_2 B_1 (\underbrace{\pi R_1^2}) = \mu_0 \frac{N_2 N_1}{l} i_1 (\pi R_1^2).$$

so há campo para  $r < R_1$

$$\boxed{\bar{\Phi}_{21} = L_{21} i_1} \quad \text{onde} \quad L_{21} = \frac{\mu_0 N_2 N_1 (\pi R_1^2)}{l} //$$

$L_{21}$  é denominado indutância mútua.

unidades:  $\frac{\bar{\Phi}}{i} = \frac{Wb}{A}$ ;  $1 \frac{Wb}{A} = 1 \text{ Henry} \cdot (H)$

Analogamente, se houver uma corrente  $i_2$  passando pelo solenoide 2, haverá um campo

$$B_2 = \begin{cases} \mu_0 \frac{N_2 i_2}{l} & r < R_2 \\ 0 & r > R_2 \end{cases}$$

O fluxo do campo  $B_2$  sobre as  $N_1$  espiras do solenoide

1 é dado por:

$$\bar{\Phi}_{1(2)} = N_1 \int \vec{B}_2 \cdot d\vec{S} = N_1 B_2 (\pi R_1^2) = \frac{\mu_0 N_1 N_2 i_2 (\pi R_1^2)}{l}$$

$$\boxed{\bar{\Phi}_{1(2)} = L_{12} i_2} \quad \text{onde} \quad \boxed{L_{12} = L_{21} = \frac{\mu_0 N_1 N_2 (\pi R_1^2)}{l}}$$

Além de produzirem fluxo magnético sobre o outro solenoide, há fluxo de campo sobre o próprio solenoide

$$\bar{\Phi}_{1(1)} = N_1 \int \vec{B}_1 \cdot d\vec{S} = N_1 B_1 \pi R_1^2 = \frac{\mu_0 N_1^2 \pi R_1^2 i_1}{l}$$

$$\bar{\Phi}_{2(2)} = N_2 \int \vec{B}_2 \cdot d\vec{S} = N_2 B_2 \pi R_2^2 = \frac{\mu_0 N_2^2 \pi R_2^2 i_2}{l}$$

$$\left\{ \begin{aligned} \bar{\Phi}_1 &= L_{11} i_1 = L_1 i_1 & \text{onde } L_1 &= \frac{\mu_0 N_1^2 (\bar{A} R_1^2)}{l} \\ \bar{\Phi}_2 &= L_{22} i_2 = L_2 i_2 & \text{onde } L_2 &= \frac{\mu_0 N_2^2 (\bar{A} R_2^2)}{l} \end{aligned} \right.$$

$L_1$  e  $L_2$  são as auto-indutâncias dos solenóides 1 e 2 respectivamente.

(\*) Note que  $L_1, L_2, L_{21} = L_{12}$  só dependem de aspectos geométricos.

Se pelo solenóide 1 passa uma corrente  $i_1$  e pelo solenóide 2 passa uma corrente  $i_2$

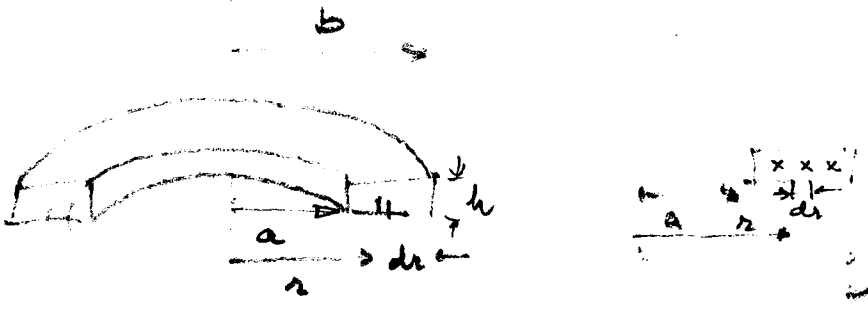
$$\left\{ \begin{aligned} \bar{\Phi}_1 &= L_1 i_1 + L_{12} i_2 \\ \bar{\Phi}_2 &= L_{21} i_1 + L_2 i_2 \end{aligned} \right. \quad \text{ou} \quad \begin{pmatrix} \Phi_1 \\ \Phi_2 \end{pmatrix} = \begin{pmatrix} L_1 & L_{12} \\ L_{21} & L_2 \end{pmatrix} \begin{pmatrix} i_1 \\ i_2 \end{pmatrix}$$

$$\left\{ \begin{aligned} \frac{d\Phi_1}{dt} &= L_1 \frac{di_1}{dt} + L_{12} \frac{di_2}{dt} & \Rightarrow E_1 &= - \frac{d\Phi_1}{dt} = -L_1 \frac{di_1}{dt} - L_{12} \frac{di_2}{dt} \\ \frac{d\Phi_2}{dt} &= L_{21} \frac{di_1}{dt} + L_2 \frac{di_2}{dt} & \Rightarrow E_2 &= - \frac{d\Phi_2}{dt} = -L_{21} \frac{di_1}{dt} - L_2 \frac{di_2}{dt} \end{aligned} \right.$$

Obs: Há uma aproximação escondida aqui: isto só é aproximadamente correto se as variações de corrente são relativamente lentas, numa escala de tempo comparada com o tempo que a luz leva para atravessar as dimensões típicas do circuito. ( $t = l/c$ )  $c \approx 3 \times 10^8 \text{ m/s} = 3 \times 10^8 \text{ m/s}$

A f.e.m. auto-induzida  $\mathcal{E} = -L \frac{di}{dt}$  onde  $i$  é a corrente que atravessa o circuito.

Exemplos: 1. Auto-indutância de um solénoide.



$$\vec{B} = \frac{\mu_0 N i}{2\pi r} \quad d\Phi = \vec{B} \cdot d\vec{S} = \frac{\mu_0 N i}{2\pi r} h dr N$$

$$d\Phi = \frac{\mu_0 N^2 i h}{2\pi} \frac{dr}{r} \Rightarrow \Phi = \int d\Phi = \int_a^b \frac{\mu_0 N^2 i h}{2\pi} \frac{dr}{r}$$

$$\Phi = \frac{\mu_0 N^2 i h}{2\pi} \ln\left(\frac{b}{a}\right) \Rightarrow \frac{d\Phi}{dt} = \frac{\mu_0 N^2 h}{2\pi} \ln\left(\frac{b}{a}\right) \frac{di}{dt}$$

$$\Rightarrow L = \frac{\mu_0 N^2 h}{2\pi} \ln\left(\frac{b}{a}\right)$$

Energia magnética

f.e.m. induzida  $\mathcal{E} = -\frac{d\Phi}{dt}$

Potência dissipada  $P = \mathcal{E}i$

Potência fornecida para ter uma corrente  $i$

$$P = -\mathcal{E}i = \frac{d\Phi}{dt} i = \frac{d(Li)}{dt} i = L \frac{di}{dt} i$$

A energia total fornecida para fazer passar esse corrente desde o instante original  $t=0$  onde  $i=0$  até o instante  $t$  onde a corrente é  $I$  é dado por

$$U = \int_0^t P dt = \int_0^t L i \frac{di}{dt} dt = \int_0^I L i di = \frac{LI^2}{2}$$

$$\boxed{U = \frac{1}{2} LI^2}$$

Vejam os o caso de um solenoide com  $N$  espiras  $\Rightarrow n = \frac{N}{l}$

$$B = \mu_0 n i \Rightarrow L = \mu_0 \frac{N^2}{l} S \quad \text{onde } S \text{ é área de}$$

$$\text{seção reta do solenoide} \Rightarrow U = \frac{1}{2} \mu_0 \frac{N^2}{l} S i^2$$

$$\Rightarrow U = \frac{1}{2} \left( \mu_0 \frac{N}{l} i \right)^2 \frac{lS}{\mu_0} = \frac{1}{2\mu_0} \underbrace{B^2}_{\text{volume do solenoide} = lS}$$

$$\Rightarrow \text{Densidade volumétrica de energia} \quad u = \frac{U}{V} = \frac{1}{2\mu_0} B^2$$

Este resultado é geral: onde existe um campo magnético  $\vec{B}$  existe uma densidade de energia  $\left[ u_m = \frac{1}{2\mu_0} B^2 \right]$

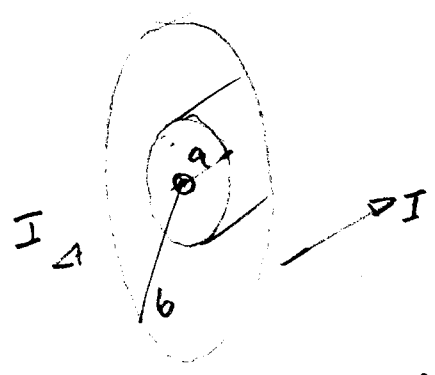
Analogamente ao caso elétrico  $\left[ u_e = \frac{1}{2} \epsilon_0 E^2 \right]$

No caso em que existe tanto  $\vec{B}$  quanto  $\vec{E}$  em uma dada região do espaço  $\Rightarrow$  existe naquela região uma densidade de energia eletromagnética dada

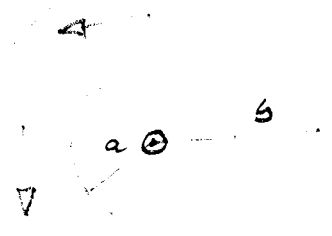
$$\text{por } \boxed{u_{em} = \frac{1}{2} \epsilon_0 E^2 + \frac{1}{2} \frac{B^2}{\mu_0}}$$

Um exercício uma forma geral para obter a autoindutância de um circuito.

Exemplo: Cabo coaxial formado por uma casca cilíndrica de raio  $b$  e espessura desprezível e um condutor cilíndrico de raio  $a$ . A densidade de corrente que flui no condutor interno é uniforme e tem sentido oposto ao de que flui na casca externa. Vista de frente:



- 1. Campo  $\vec{B} = 0$  para  $r > b$
- 2. Campo  $\vec{B}$  tem direção tangencial e módulo  $B = \frac{\mu_0 I}{2\pi r}$  para  $a < r < b$



- 3. Campo  $\vec{B}$  tem direção tangencial e módulo  $B = \mu_0 j \frac{r}{2}$  onde  $j = \frac{I}{\pi a^2}$  para  $r < a$  (use resultado decorre da Lei de Ampère)

decorre da Lei de Ampère:  $\int \vec{B} \cdot d\vec{l} = \mu_0 i$ ; para  $r < a$   
 $\int \vec{B} \cdot d\vec{l} = B \cdot 2\pi r = \mu_0 i$ ; a corrente que atravessa a área delimitada pelo circuito Amperiano é  $i = j\pi r^2$  onde  $j = \frac{I}{\pi a^2}$ .

(\* Note que não existe campo magnético na região  $r < b$ .

A densidade de energia

$$u_m = \frac{B^2}{2\mu_0} = \begin{cases} \frac{1}{2\mu_0} \left(\frac{\mu_0 j r}{2}\right)^2 & r < a \\ \frac{1}{2\mu_0} \left(\frac{\mu_0 I}{2\pi r}\right)^2 & a < r < b \end{cases}$$

Para calcular a energia armazenada em todo o espaço devemos calcular  $U = \int u_m dV$

$dV = r d\theta dr l$  onde  $l$  é o comprimento do cabo.  
  
 elemento de volume em coordenadas cilíndricas

$$U = \int_0^a u_m dV + \int_a^b u_m dV = \frac{1}{2\mu_0} \int_0^a \left(\frac{\mu_0 j r}{2}\right)^2 r d\theta dr l + \frac{1}{2\mu_0} \int_a^b \left(\frac{\mu_0 I}{2\pi r}\right)^2 r d\theta dr l$$

A integral em  $d\theta$  pode ser feita trivialmente pois o integrando não depende de  $\theta \Rightarrow$

$$U = \frac{1}{2\mu_0} 2\pi l \int_0^a \left(\frac{\mu_0 j r}{2}\right)^2 r dr + \frac{1}{2\mu_0} 2\pi l \int_a^b \left(\frac{\mu_0 I}{2\pi r}\right)^2 r dr$$

$$U = \frac{\pi l \mu_0 j^2}{\cancel{\mu_0} 4} \int_0^a r^3 dr + \frac{\pi l \mu_0 \cancel{I}^2}{\cancel{\mu_0} 4\pi^2} \int_a^b \frac{1}{r} dr$$

$\frac{a^4}{4}$ 
 $\ln\left(\frac{b}{a}\right)$

$$U = \frac{\pi l \mu_0 j^2 a^4}{16} + \frac{l \mu_0 I^2}{4\pi} \ln\left(\frac{b}{a}\right)$$

$$j = I / \pi a^2 \Rightarrow j^2 a^4 = \frac{I^2 a^4}{\pi^2 a^4} \Rightarrow$$

$$U = \frac{\pi l \mu_0}{16} \frac{I^2}{\pi^2} + \frac{l \mu_0}{4\pi} \ln\left(\frac{b}{a}\right) I^2$$

$$U = \frac{1}{2} \left\{ \frac{\mu_0 l}{8\pi} + \frac{\mu_0 l}{2\pi} \ln\left(\frac{b}{a}\right) \right\} I^2$$

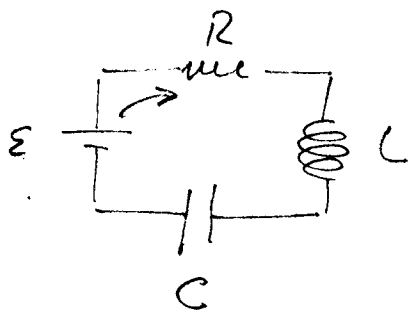
$L \equiv$  indutância do cabo coaxial

A indutância / unidade de comprimento

$$\left| L = \frac{\mu_0}{8\pi} + \frac{\mu_0}{2\pi} \ln\left(\frac{b}{a}\right) \right|$$

contribuição parcial  
do condutor interno

Circuitos RLC com bateria.



Força eletromotriz no circuito

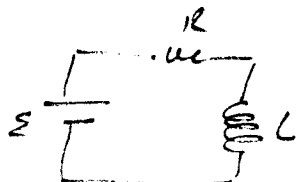
$$\varepsilon - L \frac{di}{dt} = Ri + \frac{q}{C} \quad \text{ou}$$

$$\varepsilon - L \frac{di}{dt} - Ri - \frac{q}{C} = 0 \quad i = \frac{dq}{dt}$$

(a) Sem bateria ;  
RLC

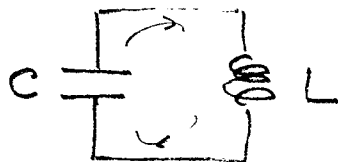
$$L \frac{di}{dt} + Ri + \frac{q}{C} = 0 \quad i = \frac{dq}{dt}$$

(b) Sem capacitor  
RL



$$\varepsilon - L \frac{di}{dt} - Ri = 0 \quad i = \frac{dq}{dt}$$

(c) Sem resistência  
e sem bateria  
LC



$$-L \frac{di}{dt} - \frac{q}{C} = 0 \quad i = \frac{dq}{dt}$$

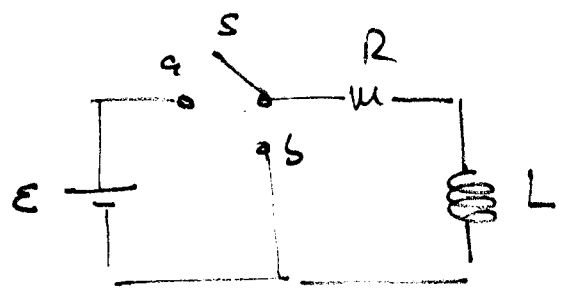


# Circuitos envolvendo indutores.

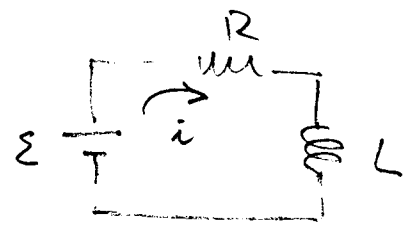
$$\Delta V = V_p - V_f = -L \frac{di}{dt}$$

$$V_p - V_f = \int E \cdot dl$$

(b) Circuito RL



Chave S em (a) ⇒



$$\varepsilon - Ri - L \frac{di}{dt} = 0 \quad (1)$$

Condições de contorno em  $t=0$   $i=0 \Rightarrow \left. \frac{di}{dt} \right|_{t=0} = \frac{\varepsilon}{L}$

Para  $t \rightarrow \infty$   $\frac{di}{dt} \rightarrow 0$  (corrente estacionária)

$$\Rightarrow i_{max} = i(t \rightarrow \infty) = \frac{\varepsilon}{R}$$

Chame  $y(t) = \frac{di}{dt}$

Derivando a Eq. (1) em relação ao tempo obtenemos:

$$-R \frac{di}{dt} - L \frac{dy}{dt} = 0 \Leftrightarrow L \frac{dy}{dt} = -Ry \Rightarrow \frac{dy}{y} = -\frac{R}{L} dt$$

Vamos chamar  $\tau_L = \frac{L}{R} \Rightarrow \frac{dy}{y} = -\frac{dt}{\tau_L}$ . Integrando dos dois lados

Note que  $\tau_L$  tem dimensão de tempo (tempo característico)

$$\ln\left(\frac{y}{y_0}\right) = -\frac{t}{\tau_L} \Rightarrow y = y_0 e^{-t/\tau_L} \text{ mas } y_0 = \left. \frac{di}{dt} \right|_{t=0} = \frac{\varepsilon}{L}$$

$$\Rightarrow y = \frac{\varepsilon}{L} e^{-t/\tau_L} \text{ ou seja } \left| \frac{di}{dt} = \frac{\varepsilon}{L} e^{-t/\tau_L} \right|$$

$$y = \frac{di}{dt} \Rightarrow di = y dt \Rightarrow i(t) - \underbrace{i(0)}_{=0} = \int_0^t y(t') dt' \quad (23)$$

$$i(t) = \int_0^t \frac{\mathcal{E}}{L} e^{-t'/\tau_L} dt' = \frac{\mathcal{E}}{L} \left. \frac{e^{-t'/\tau_L}}{(-)\frac{1}{\tau_L}} \right|_0^t = -\frac{\mathcal{E}}{L} \tau_L e^{-t'/\tau_L} \Big|_0^t$$

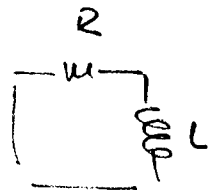
$$i(t) = -\frac{\mathcal{E}}{L} \frac{L}{R} e^{-t'/\tau_L} \Big|_0^t = \frac{\mathcal{E}}{R} (1 - e^{-t/\tau_L})$$

$$i(t) = \frac{\mathcal{E}}{R} (1 - e^{-t/\tau_L})$$

Decorridos  $t = \tau_L$   $i(t = \tau_L) = \frac{\mathcal{E}}{R} (1 - e^{-1}) \approx \frac{\mathcal{E}}{R} (1 - \frac{1}{3}) = \frac{2}{3} \frac{\mathcal{E}}{R}$

a corrente atinge  $\frac{2}{3}$  do valor máximo.

Se a chave é ligada em (b) obtemos



$$L \frac{di}{dt} + Ri = 0 \Rightarrow$$

$$\frac{di}{i} = - \frac{dt}{\tau_L} \Rightarrow \ln\left(\frac{i}{i_0}\right) = -\frac{t}{\tau_L}$$

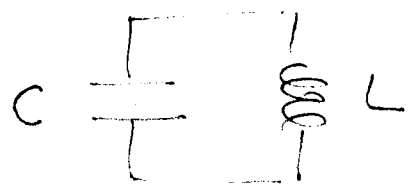
agora  $i_0 = i(t=0)$  instante em que a chave é conectada em (b).  $\Rightarrow$

$$i = i_0 e^{-t/\tau_L}$$

$$i(\tau_L) = \frac{i_0}{e} \approx \frac{1}{3} i_0 \text{ Decorridos um tempo } t = \tau_L \text{ depois que}$$

a chave foi conectada em b a corrente cai a  $\frac{1}{3}$  do seu valor inicial

(c) Circuito LC



$$L \frac{di}{dt} + \frac{q}{C} = 0 \quad i = \frac{dq}{dt}$$

$$\frac{d^2q}{dt^2} + \frac{1}{LC} q = 0 \quad ; \quad \text{chamando } \omega_0^2 = \frac{1}{LC} \Rightarrow \omega_0 = \sqrt{\frac{1}{LC}}$$

$$\frac{d^2q}{dt^2} + \omega_0^2 q = 0 \quad q = A \cos(\omega_0 t + \varphi)$$

As constantes A e  $\varphi$  são determinadas pelas condições iniciais Ex: em  $t=0$   $q = q_0$   $i = 0$

$$i = \frac{dq}{dt} = -A\omega \sin(\omega_0 t + \varphi) \quad i(0) = -A\omega \sin \varphi \Rightarrow \begin{matrix} - \\ = 0 \end{matrix} \quad \varphi = 0$$

$$q = A \cos(\omega_0 t) \quad q(0) = q_0 \Rightarrow A = q_0$$

Nesse caso  $q(t) = q_0 \cos(\omega_0 t + \varphi)$

Carga, corrente, d.d.p em terminais do capacitor e a f.e.m. induzida t.b. oscilam com período  $T = \frac{2\pi}{\omega_0}$  ou frequência  $\nu = \frac{\omega_0}{2\pi}$

Sem resistência a energia total é constante:

$$\frac{1}{2} Li^2 + \frac{q^2}{2C} = \text{Energia total inicial} = \frac{q_0^2}{2C}$$